

مطالعه تغییرات نرخ لرزه‌خیزی و تنش کولمب مرتبط با زمین‌لرزه ۹ آوریل ۲۰۱۳

کاکی-شنبه (Mw=۶/۳) و توزیع مکانی پس‌لرزه‌ها

بهاره نوری^۱، سید ناصر هاشمی^{۲*} و بهنام ملکی آسايش^۳

۱. دانشجوی کارشناسی ارشد، گروه زمین‌شناسی، دانشکده علوم زمین، دانشگاه دامغان، ایران
۲. استادیار، گروه زمین‌شناسی، دانشکده علوم زمین، دانشگاه دامغان، ایران
۳. دانشجوی دکتری، پژوهشگاه بین‌المللی زلزله‌شناسی و مهندسی زلزله، تهران، ایران

(دریافت: ۹۵/۱۱/۹، پذیرش نهایی: ۹۶/۳/۲)

چکیده

اثر یک زمین‌لرزه در چکانش (Triggering) رخدادهای بعدی و نیز توزیع پس‌لرزه‌ها، با استفاده از تئوری تغییرات تنش کولمب قابل توضیح است. وقوع زمین‌لرزه ۹ آوریل ۲۰۱۳ با بزرگای گستاوری ۶/۳ در استان بوشهر و پس‌لرزه آن با بزرگای ۵/۴ ما را برآن داشت تا این تئوری را برای این ناحیه از ایران مورد ارزیابی قرار دهیم. بر اثر این رخداد، بر روی دو قطعه گسلی لغزش به وقوع پیوست؛ قطعه شمال‌غربی که زمین‌لرزه اصلی بر روی آن رخ داد و قطعه جنوبی که احتمالاً لغزش بی‌لرزه را تجربه کرده است. به منظور بررسی اثر تنش ایجادشده بر اثر لغزش قطعه شمال‌غربی بر روی صفحه گسلی با استفاده از نرم‌افزار Coulomb 3.4 محاسبه شد که تجربه کرده است، تغییرات تنش حاصل از آن بر روی این صفحه گسلی با استفاده از نرم‌افزار نتایج حاکی از افزایش تنش در بیشتر قسمت‌های این صفحه گسلی، خصوصاً در قسمت‌هایی است که دارای لغزش بوده است. نتایج این مطالعه نشان می‌دهد که زمین‌لرزه ۹ آوریل و لغزش بی‌لرزه بر روی صفحه گسلی در جنوب شرق آن باعث افزایش تنش در قسمت‌هایی از گسل پیشانی کوهستان، گسل پیش‌زرفای زاگرس و نیمه‌شمالی گسل برازجان شده است. تغییرات تنش کولمب حاصل از لغزش بر روی این دو صفحه همبستگی خوبی با تغییرات نرخ لرزه‌خیزی در منطقه دارد و زمین‌لرزه ۲۸ نوامبر ۲۰۱۳ برازجان در منطقه‌ای رخ داده است که هم تغییرات تنش کولمب و هم تغییرات نرخ لرزه‌خیزی مقدار مشتی را نشان می‌دهند.

واژه‌های کلیدی: پس‌لرزه، تغییرات تنش کولمب، تغییرات نرخ لرزه‌خیزی، زمین‌لرزه کاکی-شنبه، گسل گیرنده، لرزه زمین‌ساخت.

۱. مقدمه

رخ داده‌اند که تنش کولمب به وسیله زمین‌لرزه‌های قبلی افزایش یافته بود (پاپادیمتريو، ۲۰۰۲). تنش کولمب محاسبه شده برای زمین‌لرزه سال ۲۰۱۱ وان ترکیه با استفاده از مدل لغزش متغیر نشان داد که بیشتر پس‌لرزه‌ها در مناطقی که تنش کولمب افزایش یافته، رخ داده است (بايراک و همکاران، ۲۰۱۳). همچنین مطالعات در شرق ایران نشان داد که توزیع مکانی پس‌لرزه‌های ناشی از زمین‌لرزه‌های ۲۰ دسامبر ۲۰۱۰ و ۲۷ ژانویه ۲۰۱۱ ریگان همبستگی خوبی با تغییرات تنش کولمب ایجادشده توسط این رخدادها دارد (ملکی و حمزه‌لو، ۱۳۹۴).

ایران به عنوان بخشی از کمریند لرزه‌خیز آلب - هیمالیا یکی از مناطق لرزه‌خیز جهان به شمار می‌رود. لرزه‌خیزی ایران ارتباط مستقیمی با وضعیت زمین‌شناسی و زمین‌ساختی این ناحیه دارد. بررسی داده‌های لرزه‌های

شواهد زیادی وجود دارد که نشان می‌دهد تغییرات تنش ایستایی بعد از رخداد یک زمین‌لرزه، بر وقوع رخدادهای آتی تأثیر داشته و فعالیت گسل‌های موجود در منطقه را کنترل می‌کند. این تغییرات به صورت برهم‌کنش زمین‌لرزه‌ای مورد مطالعه قرار می‌گیرند و تحت عنوان تغییرات تنش کولمب شناخته شده است (اشتین و همکاران، ۱۹۹۲؛ کینگ و همکاران، ۱۹۹۴). دستاوردهای این مدل علاوه بر برهم‌کنش زمین‌لرزه‌ها، پراکندگی مکانی پس‌لرزه‌ها را نیز در بر می‌گیرد و با احتمالات زمین‌لرزه‌ای و تغییرات نرخ لرزه‌خیزی هم خوانی‌های خوبی دارد (کینگ و همکاران، ۱۹۹۴؛ تودا و همکاران، ۱۹۹۸).

مطالعه نقش بارز رخدادهای بزرگ در جزایر آیونیان یونان بر اساس تغییرات تنش کولمب نشان داد که از ۱۴ زمین‌لرزه با بزرگای $M \geq 6/3$ ، ۱۳ مورد در محلهایی

می‌دهند که لیتولوژی (سنگ‌شناسی) نقش قابل توجهی در عمق لغزش موجود در گسل‌های معکوس در کمربندهای چین‌خورده بازی می‌کند که در اندازه بالقوه زلزله‌های رخداده، نقش تعیین‌کننده‌ای دارد (الیوت و همکاران، ۲۰۱۵).

هدف اصلی این تحقیق محاسبه تغییرات تنش کولمب مرتبط با زمین‌لرزه ۹ آوریل ۲۰۱۳ بر روی گسل‌های فعال منطقه است. در ابتدا تغییرات تنش کولمب ایجادشده بر اثر لغزش روی قطعه گسلی شمال‌غربی، بر روی قطعه گسلی جنوبی که لغزش بی‌لرزه داشته است، محاسبه گردید. همچنین به منظور بررسی وابستگی فضایی بین تغییرات تنش کولمب و توزیع مکانی پس‌لرزه‌ها، تغییرات تنش کولمب بر روی گسل‌های با جهت‌یافته‌گی بهینه نیز محاسبه شد. در انتها تغییرات نرخ لرزه‌خیزی منطقه مورد مطالعه با در نظر گرفتن این زمین‌لرزه به عنوان زمین‌لرزه مرجع محاسبه شده است تا همبستگی بین تغییرات نرخ لرزه‌خیزی و تغییرات تنش کولمب بررسی شود.

۲. زمین ساخت و لرزه‌خیزی منطقه

همان‌طور که اشاره شد ایران بخشی از زون فعل زمین‌ساختی آلب-هیمالیاست که متأثر از همگرایی بین دو صفحه عربی و اورا سیا است. بر اساس تحلیل داده‌های GPS این دو صفحه با سرعت حدود ۲۴ میلی‌متر در سال و در جهت غالب $N8^{\circ}E$ به سمت یکدیگر در حرکت هستند (ورنات و همکاران، ۲۰۰۴). از نظر لرزه زمین‌ساختی ایران را می‌توان به نوار چین‌خورده زاگرس، البرز، کپه‌داغ و ایران مرکزی و نیز دشت لوت تقسیم کرد. منطقه مورد مطالعه در این تحقیق بخشی از ایالت لرزه زمین‌ساختی زاگرس را تشکیل می‌دهد (جکسون و مکنزی، ۱۹۸۴).

کمربند رانده و چین‌خورده زاگرس با طول تقریبی ۱۲۰۰ کیلومتر و امتداد شمال‌غرب-جنوب‌شرق در داخل ایران و لبه صفحه عربی واقع شده است. این کمربند با قرارگیری بین کمربند کوه‌هستانی آناطولی و زون فروزانش مکران، از شرق ترکیه شروع شده و تا

ایران نشان می‌دهد که به طور متوسط تقریباً هر پنج سال یک زمین‌لرزه‌ای با بزرگی حدود ۶/۵ در این ناحیه رخ می‌دهد که تأثیرات مخرب جدی بر جامعه انسانی وارد می‌سازد (عبادی و همکاران، ۱۳۸۹). در ۹ آوریل ۲۰۱۳ زمین‌لرزه‌ای به بزرگای $Mw=6/3$ منطقه کاکی-شنبه در بوشهر را لرزاند. ۱۴ ساعت پس از این زمین‌لرزه یعنی در ۱۰ آوریل ۲۰۱۳ پس‌لرزه‌ای با بزرگای $Mw=5/4$ در فاصله نزدیکی از رخداد اول و در جنوب شرقی آن، چکانش کرد. این زمین‌لرزه بزرگ‌ترین رخداد در زاگرس بعد از رویداد گسل معکوس فورگ (هرمزگان) با بزرگای گشناوری ۶/۴ در نوامبر ۱۹۹۰ و همچنین بزرگ‌ترین رویداد لرزه‌ای است که در کمربند چین‌خورده زاگرس بعد از زمین‌لرزه خورگو با بزرگای گشناوری ۶/۷ در مارس ۱۹۷۷ رخ داده است (واکر و همکاران، ۲۰۰۵؛ الیوت و همکاران، ۲۰۱۵).

با بررسی داده‌های لرزه‌ای، تداخل‌سنگی ماهواره‌ای و مشاهدات میدانی توسط الیوت و همکاران (۲۰۱۵)، هندسه گسل مسبب زمین‌لرزه کاکی-شنبه و رابطه آن با ساختارها، چین‌ساختی و زمین‌ساخت زاگرس تعیین شد. بر اساس این مطالعات، لغزش معکوس بر روی دو امتداد قطعات گسلی با شبیه در جهت جنوب‌غربی به دست آمد (شکل ۳). این مطالعات دو قطعه گسیختگی را به ما نشان دادند که گسیختگی رخداد اصلی در انتهای قطعه بزرگ‌تر شمال‌غربی، آغاز شده است. بر اساس کانون و مدت زمان گسیختگی، لغزش بر روی قطعه کوچک‌تر جنوبی احتمالاً به صورت بی‌لرزه است. لغزش‌های مدل‌سازی شده در دو نرخ عمق نامداخل بیشتر از ۱۰ کیلومتر رخ داده‌اند که به قطعات گسیختگی باریک (۷~۱۶ کیلومتر) و طولانی (۱۶~۲۴ کیلومتر) منجر شده‌اند. پس‌لرزه‌های دوباره مکان‌یابی شده عمدتاً در عمق ۳-۱۴ کیلومتر رخ داده‌اند که نشان می‌دهد لغزش معکوس و کوتاه‌شدگی همراه با لرزه عمدتاً یا منحصرآ در پوشش رسوبی اتفاق می‌افتد و توزیع لغزش‌ها به احتمال زیاد در عمق توسط سازند نمک هرمز در قاعده پوشش رسوبی (۱۲-۱۰ کیلومتر) و گل‌سنگ‌های سازند کژدمی در سطوح بالا (۵-۴ کیلومتر) کنترل می‌شود. یافته‌ها نشان

$Mw \geq 6$ هستند و بزرگ‌ترین زمین‌لرزه‌ها (دو مورد)، در قیر و خورگو در دهه ۱۹۷۰ برابر با $Mw = 6/7$ بودند (شکل ۱) (جکسون و فیچ، ۱۹۸۱؛ بیکر و همکاران، ۱۹۹۳). مطالعات حکایت از آن دارد که اغلب زمین‌لرزه‌های ناشی از گسلش معکوس با بزرگی متوسط ($Mw 5-6$)، در اعماق حدود ۴–۱۰ کیلومتر رخ می‌دهند که با گسیختگی در سطح بیشتر سازگار است (نیسن و همکاران، ۲۰۱۱؛ برنارت و لومان، ۲۰۱۳). داده‌های InSAR واضحی که در چند زمین‌لرزه اخیر ثبت شده‌اند نیز از لغزش هم‌لرزه‌ای در اعماق متوسط یا پایین‌تر پوشش رسوبی حمایت می‌کنند (برنارت و لومان، ۲۰۱۳؛ نیسن و همکاران، ۲۰۰۷؛ روستایی و همکاران، ۲۰۱۰؛ نیسن و همکاران، ۲۰۱۰). همه این نتایج حاکی از آن هستند که زمین‌لرزه‌های بزرگ‌تر که در بخش میانی مت مرکزند، احتمالاً در داخل رسوبات گروه مقاوم تمرکز یافته‌اند (نیسن و همکاران، ۲۰۱۱). این تفسیر به تازگی توسط برنارت و لومان (۲۰۱۳) به چالش کشیده شده است؛ آن‌ها نشان دادند که داده‌های InSAR پالس‌های تحریکی لغزش بی‌لرزه را منعکس می‌کنند و این‌که شوک‌های اصلی اولیه در درون پی‌سنگ رخ می‌دهد. با این حال، مدل آن‌ها با مدل‌سازی شکل موج دور‌لرزه‌ای در تضاد است که تأیید می‌کند که لغزش لرزه‌ای شوک اصلی در اعمق کم‌تر تمرکز دارد. گسلش امتداد‌لغز نیز نقش مهمی در کمربند چین خورده ساده زاگرس (SFB) مرکزی دارد که در آن پنج گسل راستگرد اصلی با روند N-S، بر اساس مکانیسم‌های کانونی زمین‌لرزه‌ها یافت شده است (حسامی و همکاران، ۲۰۰۱؛ بیکر و همکاران، ۱۹۹۳). تصور بر این است که این گسل‌ها، از غرب به شرق، گسل‌های برازجان، کازرون، کره‌بس، سبزپوشان، و سروستان- حول محور عمودی در خلاف جهت عقربه‌های ساعت می‌چرخند و در نتیجه با کشش امتداد‌لغز در بین SFB جنوب‌شرقی و شمال‌غربی مطابقت دارند (فخاری و همکاران، ۲۰۰۸). منطقه مورد مطالعه در این تحقیق در شرق گسل برازجان قرار دارد.

تنگه هرمز امتداد می‌یابد. رشته کوه زاگرس عنصری کلیدی در برخورد قاره‌ای بین صفحات عربی و اوراسیاست که شکل‌گیری آن بین ۳۵ تا ۲۰ میلیون سال پیش شروع شده است (آلن و آرمستانگ، ۲۰۰۸؛ مک‌گوری و هینسبرگن، ۲۰۱۳؛ موتبیو و همکاران، ۲۰۱۲). نرخ کوتاه‌شدگی اندازه‌گیری شده با استفاده از داده‌های GPS از حدود ۹ میلی‌متر در سال، در جنوب‌شرق زاگرس تا حدود ۴ میلی‌متر در سال، در شمال‌غرب این ناحیه متغیر است و حدود یک‌سوم از کل نرخ همگرایی عربی- اوراسیایی را ایجاد می‌کند (ورنانت و همکاران، ۲۰۰۴). این کوتاه‌شدگی عمود بر روند شرقی- غربی زاگرس جنوب‌شرقی است اما نسبت به روند شمال‌غرب- جنوب‌شرق زاگرس شمال‌غربی که در آن بخش‌شدگی (partitioning) لغزش منجر به حرکت راستگرد در امتداد گسل جوان اصلی زاگرس می‌گردد، مورب است (طالبیان و جکسون، ۲۰۰۴).

در ناحیه زاگرس روند عمومی ساختارهای تکونیکی تقریباً شمال‌غربی- جنوب‌شرقی است و در آن رسوبات پالئوزوئیک، مزوژوئیک و ترشیری به طور هم‌شیب روی هم قرار گرفته‌اند (آقانباتی، ۱۳۸۳). از گسل‌های فعال و مهم منطقه می‌توان به گسل اصلی زاگرس (MZF) با طول حدود ۱۳۵ کیلومتر که در اواخر پرکامبرین و در اثر کوهزایی کاتنگایی شکل گرفته است، گسل کازرون به طول تقریبی ۱۲۵ کیلومتر که پی‌سنگی بوده و گسترش گبدهای نمکی را در زاگرس مرکزی کنترل می‌کند، گسل برازجان با مؤلفه فشارش و گسل پیشانی کوهستان (MFF) با طول حدود ۱۳۵ کیلومتر که مرز ساختاری مهم میان زاگرس چین خورده ساده با کوهپایه‌ها و دشت ساحلی خلیج فارس است، اشاره کرد (آقانباتی، ۱۳۸۳؛ بچمانف و همکاران، ۲۰۰۴، بربیان، ۱۹۹۵؛ اویسی و همکاران، ۲۰۰۷؛ شرکتی و همکاران، ۲۰۰۵).

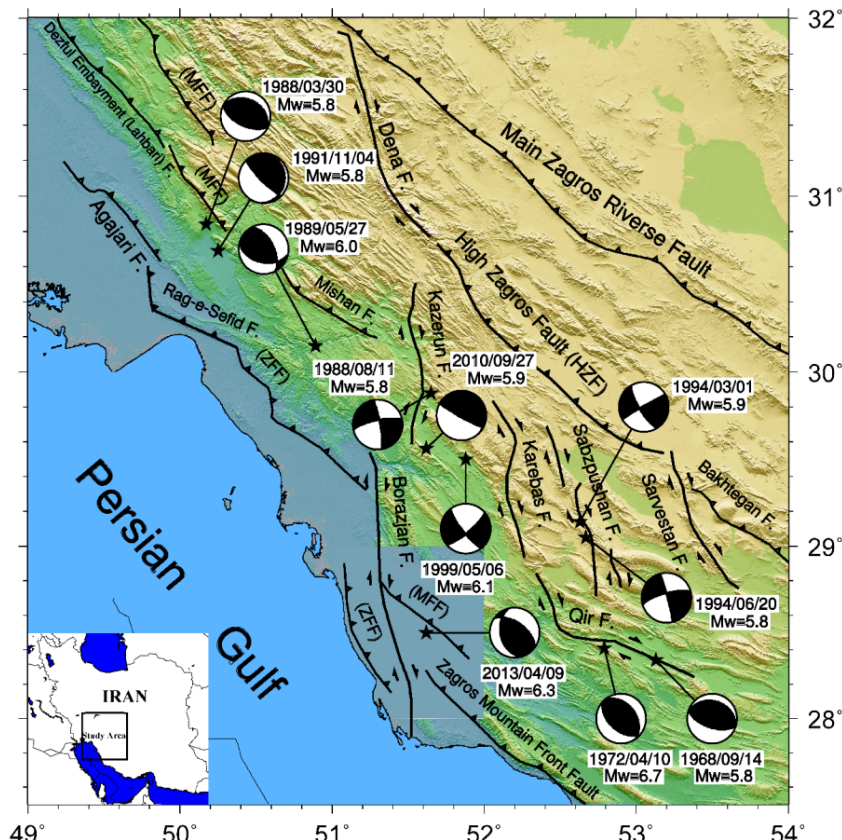
لرزه‌خیزی این منطقه، عمده‌تاً شامل زمین‌لرزه‌های با مکانیسم گسلش معکوس و با شیب حدود ۶۰–۳۰ درجه است (جکسون، ۱۹۸۰). اغلب زمین‌لرزه‌هایی که مورد لرزه‌سننجی از راه دور قرار گرفته‌اند، دارای بزرگی

چهل نفر و مجروح شدن بیش از ۸۶۰ نفر انجامید. بزرگترین پس لرزه ($Mw = 5/4$) ۱۴ ساعت بعد از رخداد اصلی به وقوع پیوست و تعداد زیادی پس لرزه محلی ($M = 1-5$) در طول یک ماه بعد از رخداد اصلی به ثبت رسید (الیوت و همکاران، ۲۰۱۵؛ بلورچی و همکاران، ۱۳۹۲). گستره رومگری این رخداد مهلزهای با دانسیته کم روستایی واقع گشته است که در بیشتر روستاهای دو شهر شنبه و کاکی از ۱۰ تا ۱۰۰ درصد خسارت دیده می شود (شکل ۲). اطلاعات مرتبط با سازوکار کانونی این زمین لرزه در جدول ۱ آرائه شده است. مطالعات الیوت و همکاران (۲۰۱۵) درباره این رخداد نشان داد که در منطقه مورد مطالعه دو قطعه گسلی دچار لغزش معکوس شده است. گسیختگی تکان اصلی از پایین انتهای شمالی قطعه شمال غربی آغاز شده است و بر اساس مرکز کانونی و مدت دوام گسیختگی، لغزش بر روی قطعه گسلی جنوبی احتمالاً بی لرزه بوده است.

در شکل ۱ گسلهای فعال به همراه زمین لرزه هایی که دارای بزرگی برابر یا بیش از $5/8$ در بزرگای گشتاوری هستند در منطقه مورد مطالعه نشان داده شده است. ملاحظه می گردد که از سال ۱۹۷۲ میلادی تا کنون ۱۱ زمین لرزه در این منطقه رخ داده است که حاکی از توان لرزه ای زیاد آن است. رومگر و مکانیسم کانونی این زمین لرزه ها بر اساس بربریان و همکاران (۲۰۱۴)، بیکر و همکاران (۱۹۹۳)، الیوت و همکاران (۲۰۱۵)، طالیان و جکسون (۲۰۰۴)، مگی و همکاران (۲۰۰۰) و نی و برازنگی (۱۹۸۶) است.

۳. معرفی زمین لرزه ها

۱-۱. زمین لرزه ۹ آوریل ۲۰۱۳ کاکی - شبیه در ۹ آوریل سال ۲۰۱۳ (UTC ۱۱:۵۳، ۲۰۱۳:۱۶:۲۳) به وقت محلی) یک زمین لرزه به بزرگای گشتاوری کمربند زاگرس چین خورده در جنوب غربی ایران را لرزاند. مرکز این زمین لرزه در ۲۰ کیلومتری شمال شرقی شهر کاکی قرار داشت. وقوع این زمین لرزه به فوت



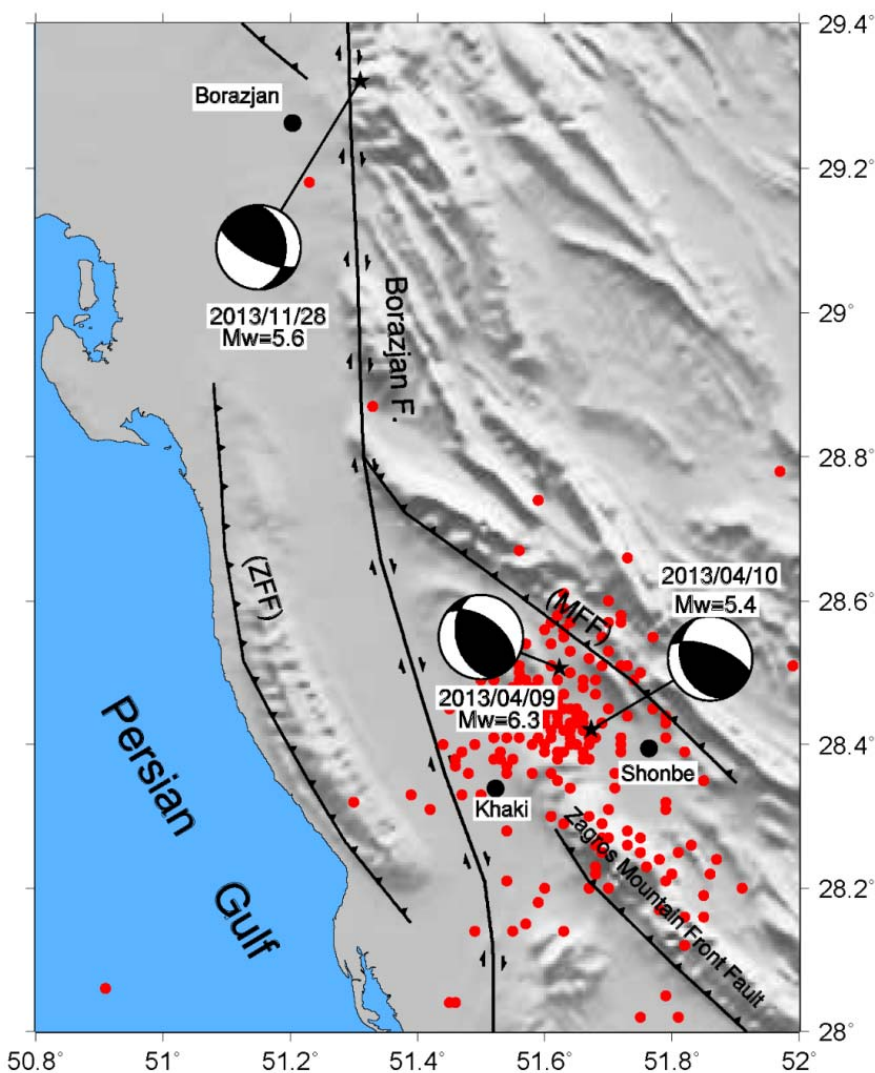
شکل ۱. نقشه گسلهای فعال منطقه به همراه رومگر و مکانیسم زمین لرزه هایی با بزرگای مساوی یا بیش از $5/8$. گسلهای فعال و اسامی آنها بر اساس نقشه گسلهای فعال ایران (حسامی و همکاران، ۲۰۰۳) است. رومگر و مکانیسم زمین لرزه ها بر اساس بربریان و همکاران (۲۰۱۴)، بیکر و همکاران (۱۹۹۳)، الیوت و همکاران (۲۰۱۵)، طالیان و جکسون (۲۰۰۴)، مگی و همکاران (۲۰۰۰) و نی و برازنگی (۱۹۸۶) است.

زمین‌لرزه اصلی را نشان می‌دهد (بلورچی و همکاران، ۱۳۹۲). اطلاعات مرتبط با سازوکار کافونی این زمین‌لرزه نیز در جدول ۱ ارائه شده است؛ همچنین رومرکز و مکانیسم کافونی آن در شکل ۲ نشان داده شده است.

۲-۳. زمین‌لرزه ۱۰ آوریل ۲۰۱۳ کاکی-شنبه
چهارده ساعت بعد از وقوع زمین‌لرزه اصلی در منطقه کاکی-شنبه، بزرگترین پس‌لرزه این رخداد با بزرگای گشتاوری $5/4$ در ساعت ۱۰:۵۸ در ۱۰ آوریل ۲۰۱۳ به وقوع پیوست که سازوکاری بسیار مشابه با

جدول ۱. مشخصات رومرکز و مکانیسم کافونی زمین‌لرزه ۹ آوریل ۲۰۱۳ کاکی-شنبه، پس‌لرزه ۱۰ آوریل این رخداد و زمین‌لرزه ۲۸ نوامبر ۲۰۱۳.

مرجع	مکانیسم			عمق (km)	بزرگ (Mw)	عرض جغرافیایی	طول جغرافیایی	تاریخ	ردیف
	ریک	شیب	امتداد						
(الیوت و همکاران، ۱۳۹۵) یمینی‌فرد و همکاران، ۲۰۱۵	۱۱۹	۴۲	۱۶۴	۹	۶/۳	۲۸/۵۰۷	۵۱/۶۲۳	۲۰۱۳/۰۴/۰۹	۱
(الیوت و همکاران، ۲۰۱۵)	۱۳۳	۳۲	۱۵۸	۵	۵/۴	۲۸/۴۲۱	۵۱/۶۷۳	۲۰۱۳/۰۴/۱۰	۲
پایگاه داده‌ای مؤسسه ژئوفیزیک	۱۵۱	۵۰	۱۰۲	۱۳	۵/۶	۲۹/۳۲۰	۵۱/۳۱۰	۲۰۱۳/۱۱/۲۸	۳



شکل ۲. نقشه نشان‌دهنده رومرکز و مکانیسم زمین‌لرزه ۹ آوریل ۲۰۱۳ کاکی-شنبه و پس‌لرزه ۱۰ آوریل این رخداد. گسل‌های فعال منطقه بر اساس حسامی و همکاران (۲۰۰۳) و مکانیسم زمین‌لرزه اصلی و پس‌لرزه آن بر اساس الیوت و همکاران (۲۰۱۵) است. مکانیسم و رومرکز زمین‌لرزه برازجان بر اساس پایگاه داده‌ای مؤسسه ژئوفیزیک است. رومرکز پس‌لرزه‌های دوباره مکان‌یابی شده بر اساس انصاری‌بور و رضابور (۱۳۹۴) با دایره‌های قرمزرنگ نشان داده شده است.

کولمب ناشی از لغزش بر روی قطعه گسلی شمال‌غربی مرتبط با زمین‌لرزه ۹ آوریل ۲۰۱۳ کاکی-شبه بوشهر بر روی قطعه جنوبی به عنوان گسل گیرنده، در یک نیم فضای الاستیک با استفاده از نرم‌افزار Coulomb ۳.۴ محاسبه گردید. برای مدل‌سازی بدین منظور از مقدار لغزش به دست آمده برای قسمت‌های مختلف صفحه گسلی توسط الیوت و همکاران (۲۰۱۵) برای زمین‌لرزه کاکی-شبه استفاده گردید که بیشینه لغزش رخداده در آن در عمق ۶ کیلومتری برابر $1/8$ متر است (شکل ۳). در این محاسبات نسبت پواسون 0.25 و مدول برشی 800 کیلوبار که برای نیم فضا در نظر گرفته می‌شود، به کار رفت. براساس مطالعات صورت گرفته، معمولاً مقدار 1m برای گسل‌های تراستی قاره‌ای، زیاد (حدود $10/8$)، برای گسل‌های امتداد-لغز یا ناشناخته، متوسط $10/4$ و برای گسل‌های ترانسفورم اصلی مانند سن اندریاس، خیلی کم (>0.2) فرض می‌شود (تودا و اشتبی، ۲۰۰۳؛ پارسون و همکاران، ۱۹۹۹). بر این اساس، در این محاسبات از ضریب اصطکاک مؤثر 0.4 استفاده شده است.

پس از اعمال لغزش رخداده بر روی صفحه گسلی (قطعه شمال‌غربی) و در نظر گرفتن صفحه قطعه جنوبی با مکانیسم معکوس به عنوان گسل گیرنده، تغییرات تنش کولمب ناشی از لغزش مرتبط با زمین‌لرزه کاکی-شبه بر روی قطعه گسلی جنوبی محاسبه گردید (شکل ۴). بدین منظور گسل گیرنده به قطعات یک کیلومتر در یک کیلومتر تقسیم شده است. همان طور که ملاحظه می‌گردد بیشتر قسمت‌های این صفحه گسلی تغییرات تنش مثبت دریافت کرده‌اند که ماکریم تنش اعمالی بر روی قطعات گسلی برابر با $+1$ بار است.

بر اساس زمین‌ساخت منطقه مورد مطالعه وقوع زمین‌لرزه‌های معکوس با مؤلفه امتداد‌لغز راست-گرد در منطقه معمول است. وقوع زمین‌لرزه اول با مکانیسم و جابه‌جایی معکوس با مؤلفه امتداد‌لغز، می‌تواند سبب جابه‌جایی معکوس بر روی قطعه گسلی جنوبی شود. با توجه به جهت تنش منطقه‌ای و امتداد گسلی قطعه جنوبی جابه‌جایی معکوس برای این قطعه گسلی قابل

۴. روش تحقیق

معیارهای مختلفی برای تعیین شرایطی که در آن، شکستگی در سنگ‌ها رخ می‌دهد، استفاده می‌شود. پرکاربردترین این معیارها، معیار شکست کولمب است که در محاسبات آن، هم تنش نرمال و هم تنش برشی اعمال‌شونده بر روی سطوح گسلی نوپدید یا سطوح گسلی قدیمی که اصطکاک مانع از جنبش بر روی آن‌ها می‌شود، لحاظ می‌شود. در آزمایشگاه، سنگ‌های تحت فشار تقریباً از شرایط شکست کولمب تبعیت می‌کنند؛ این نشان می‌دهد که می‌توان از شکست کولمب برای تشریح مشاهدات میدانی استفاده کرد (کینگ و همکاران، ۱۹۹۴).

تغییر تنش کولمب با استفاده از رابطه زیر بیان می‌شود:

$$\Delta CFF = \Delta \tau - \mu' \Delta \sigma_n \quad (1)$$

که ΔCFF تغییر در تنش شکست بر روی گسل گیرنده (گسلی که تنش بر روی آن اعمال می‌شود) در اثر لغزش بر روی گسل‌های چشمی (گسلی که زمین‌لرزه بر روی آن رخداده)، $\Delta \tau$ تغییر تنش برشی بر روی گسل گیرنده، $\Delta \sigma_n$ تغییر تنش نرمال بر روی گسل گیرنده و μ' ضریب اصطکاک مؤثر است (کینگ و همکاران، ۱۹۹۴). تغییرات نرخ لرزه‌خیزی (R/t) از نسبت میانگین نرخ لرزه‌خیزی پس از یک زمین‌لرزه (R) به میانگین نرخ لرزه‌خیزی پیش از آن (t) به دست می‌آید (تودا و همکاران، ۱۹۹۸).

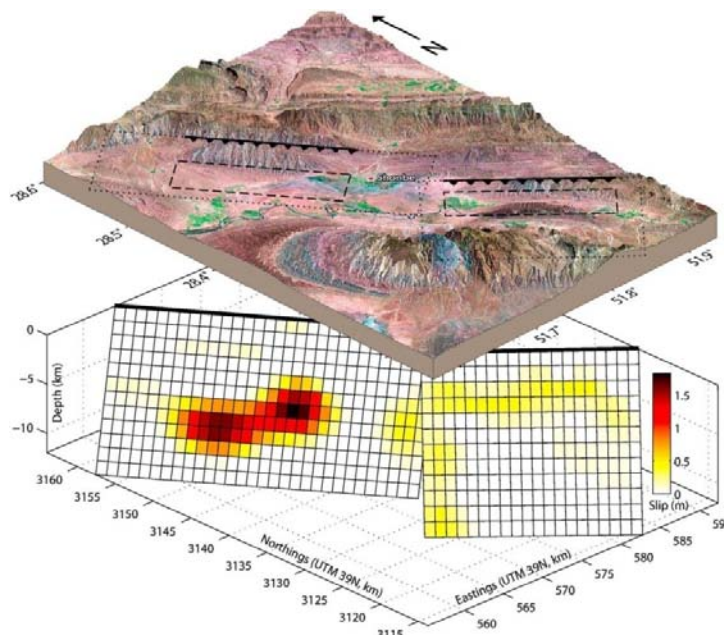
۵. مدل‌سازی تغییرات تنش کولمب

۵-۱. تغییرات تنش کولمب پس از زمین‌لرزه ۹ آوریل ۲۰۱۳

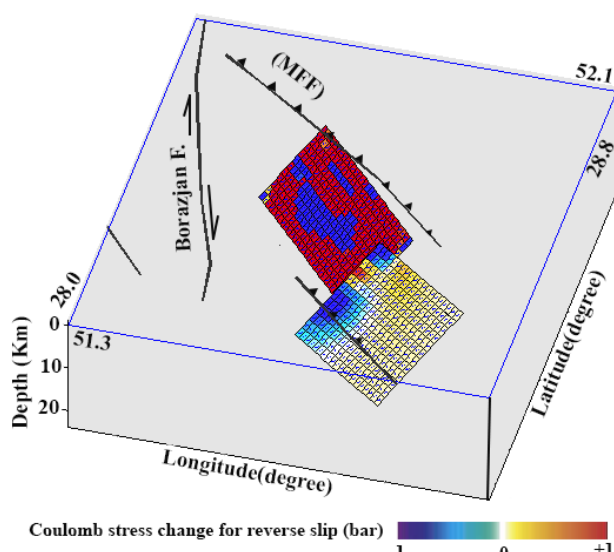
همان‌طور که اشاره شد وقوع یک زمین‌لرزه می‌تواند در رخداد زمین‌لرزه‌های آتی در اطراف خود مؤثر باشد. برای بررسی این موضوع به اطلاعات مرتبط با مکانیسم و لغزش رخداده بر روی گسل چشمی و نیز مکانیسم گسل گیرنده (گسلی که تنش بر روی آن اعمال می‌شود) نیاز است. با استفاده از حل تحلیلی معادلات جابه‌جایی و تنش (اوکادا، ۱۹۹۲)، تغییرات تنش

صفحة مسبب زمین‌لرزه ۹ آوریل کاکی-شبne (قطعة شمال‌غربی) تنش اعمالی بر روی قسمت‌های مستعد لغزش (Asperity) کاهش یافته و تغییرات تنش مقادیر منفی نشان می‌دهد (قسمت‌های آبی‌رنگ)؛ ولی بر عکس، بر روی قسمت‌هایی از گسل که هیچ‌گونه لغزشی بر روی آن‌ها رخ نداده (Barrier) است، اعمال تنش صورت گرفته است (مناطق قرمز‌رنگ) که این تنش اعمالی باعث به وجود آمدن پس‌لرزه‌ها در این مناطق می‌شود.

قبول است. همچنین لغزش رخداده بر روی این قطعه گسلی عمدها در قسمت‌هایی از این گسل رخ داده است که در منطقه، افزایش تنش کولمب حاصل از لغزش بر روی قطعه شمال‌غربی قرار دارد (شکل ۴). همچنین از شکل ۴ نتیجه می‌شود که تغییرات تنش کولمب بر روی صفحه گسلی جنوبی با در نظر گرفتن مکانیسم معکوس برای آن هم خوانی خوبی دارد که بنا به نظر الیوت و همکاران (۲۰۱۵) نیز جابه‌جایی‌های مشاهده شده از نوع معکوس هستند. نیز می‌توان دریافت که بر روی خود



شکل ۳. مقدار لغزش متغیر برای بخش‌های مختلف صفحه گسلی مسبب زمین‌لرزه ۹ آوریل ۲۰۱۳ کاکی-شبne (الیوت و همکاران، ۲۰۱۵). بیشینه لغزش رخداده بر روی صفحه گسلی در عمق ۶ کیلومتری برابر $1/8$ متر است.



شکل ۴. تغییرات تنش کولمب ناشی از لغزش بر روی قطعه شمال‌غربی مرتبط با زمین‌لرزه ۹ آوریل ۲۰۱۳ کاکی-شبne بر روی صفحه قطعه جنوبی. در این محاسبات صفحه گسلی قطعه جنوبی با مکانیسم معکوس در نظر گرفته شده است.

خش‌های گسلی (fault striae inversions) برای ارزیابی و تعیین امتداد محورهای تنش اصلی بیشینه و کمینه استفاده کرد. نقشهٔ استرس جهانی (<http://www.wsm.physik.uni-karlsruhe.de>) نیز می‌تواند برای این منظور مفید باشد. آنچه مهم است، این است که تانسور تنشی‌ای که با استفاده از این روش‌ها پیشنهاد می‌شود نباید با گسل‌های فعال منطقهٔ متناقض باشد (حسن‌زاده، ۱۳۸۱). بر اساس مطالعات ورنانت و همکاران (۲۰۰۴) نرخ کوتاه‌شدگی در منطقهٔ مورد مطالعه حدود ۶/۵ میلی‌متر در سال و در جهت N ۷ E تا N ۳ E است. بنا به نظر ظرفی و همکاران (۲۰۱۳) جهت بیشینهٔ تنش افقی در این ناحیه بر اساس محورهای P و T حاصل از مکانیسم کانونی زمین‌لرزه‌ها دارای امتداد ۲۰۴/۲ درجه و زاویهٔ میل ۵/۱ درجه است. بنابراین با به کار بردن این جهت به عنوان جهت بیشینهٔ تنش منطقه، تغییرات تنش کولمب بر روی جهت‌های بهینه محاسبه گردید. با توجه به زمین ساخت و گسل‌های فعال منطقه (شکل ۱) ملاحظه می‌گردد مکانیسم غالب در منطقهٔ گسل‌های معکوس و امتدادلغز است. لذا تغییرات تنش کولمب هم برای گسل‌های معکوس بهینه (شکل ۵) و هم برای گسل‌های امتدادلغز بهینه (شکل ۶) محاسبه شد.

با توجه به اینکه برای بررسی توزیع مکانی پس‌لرزه‌ها به رخدادهایی نیاز است که به خوبی تعیین مکان شده باشند، بنابراین ما از پس‌لرزه‌هایی استفاده کردیم که دوباره مکان‌یابی شده بودند (انصاری‌پور و رضاپور، ۱۳۹۴). انصاری‌پور و رضاپور (۱۳۹۴) پس از تعیین مدل سرعتی منطقه بوشهر، دوباره پس‌لرزه‌ها را مکان‌یابی کردند. خطای روم‌کزی و عمقی این رخدادها در مقایسه با مکان‌یابی مؤسسهٔ ژئوفیزیک دانشگاه تهران خیلی کاهش یافته است. در این پژوهش ما ۲۴۱ پس‌لرزه دوباره مکان‌یابی شده، با بزرگای بیش از ۲/۶ را انتخاب کردیم که در دوره زمانی ۸۰ روز پس از رخداد زمین‌لرزه اصلی چکانش کرده بودند. همه این رخدادها گپ آزموتی کمتر از ۱۸۰ درجه و میانگین ریشه دوم اختلاف زمان باقیمانده‌ها (RMS) کمتر از ۰/۴ ثانیه داشته‌اند و در شعاع ۱۰۰ کیلومتری زمین‌لرزه اصلی رخ

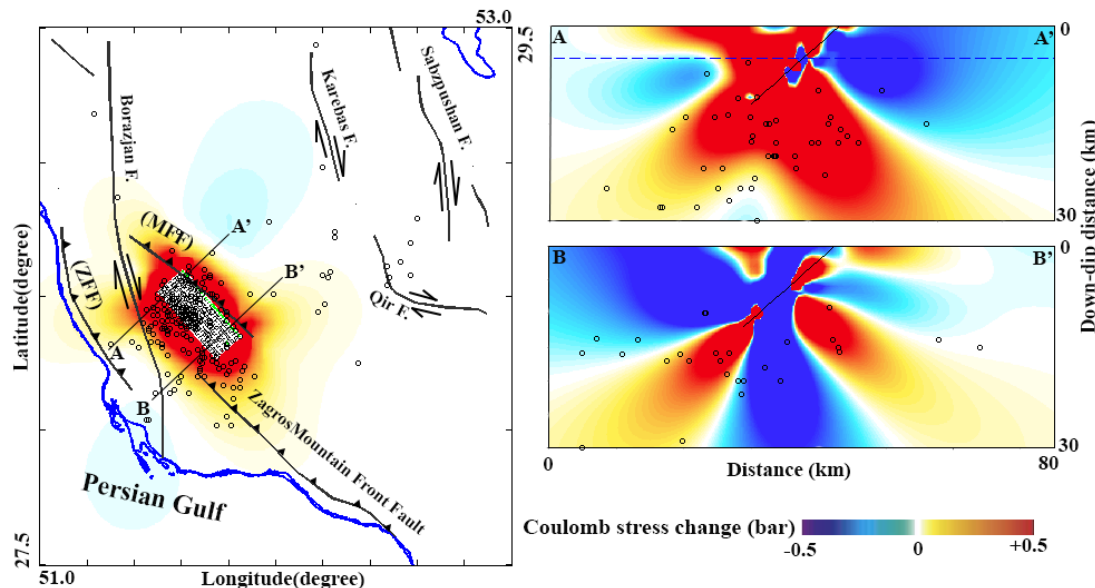
۲-۵. تغییرات تنش کولمب و توزیع مکانی پس‌لرزه‌ها

مطالعات پیشین، همبستگی شاخصی بین موقعیت مکانی پس‌لرزه‌ها و نواحی افزایش تنش کولمب حاصل از زمین‌لرزه‌های بزرگ را نشان می‌دهد (کینگ و همکاران، ۱۹۹۴؛ هریس، ۱۹۹۸؛ تودا و اشتین، ۲۰۰۳؛ لین و اشتین، ۲۰۰۴) همچنین مطالعهٔ رخدادهای لرزه‌ای بزرگ نشان می‌دهد که افزایش نرخ لرزه‌خیزی با تغییرات مثبت ΔCFF یا افزایش در تنش همبستگی دارد (تودا و همکاران، ۱۹۹۸). در اطراف هر گسل صفحاتی وجود دارند که به صورت بهینه نسبت به صفحهٔ گسلی قرار گرفته‌اند. این صفحات بهینه صفحاتی هستند که انتظار می‌رود پس‌لرزه‌ها بر روی آن‌ها رخ دهند. فرض می‌کنیم که تعداد زیادی گسل با جهت‌های مختلف وجود دارند که به احتمال زیاد در زمین‌لرزه‌های کوچک خواهند لغزید (کینگ و همکاران، ۱۹۹۴). پس‌لرزه‌های یک زمین‌لرزه در پاسخ به تغییرات تنش حاصل از زمین‌لرزه اصلی آرایش می‌یابند (راجدپوت و همکاران، ۲۰۰۵).

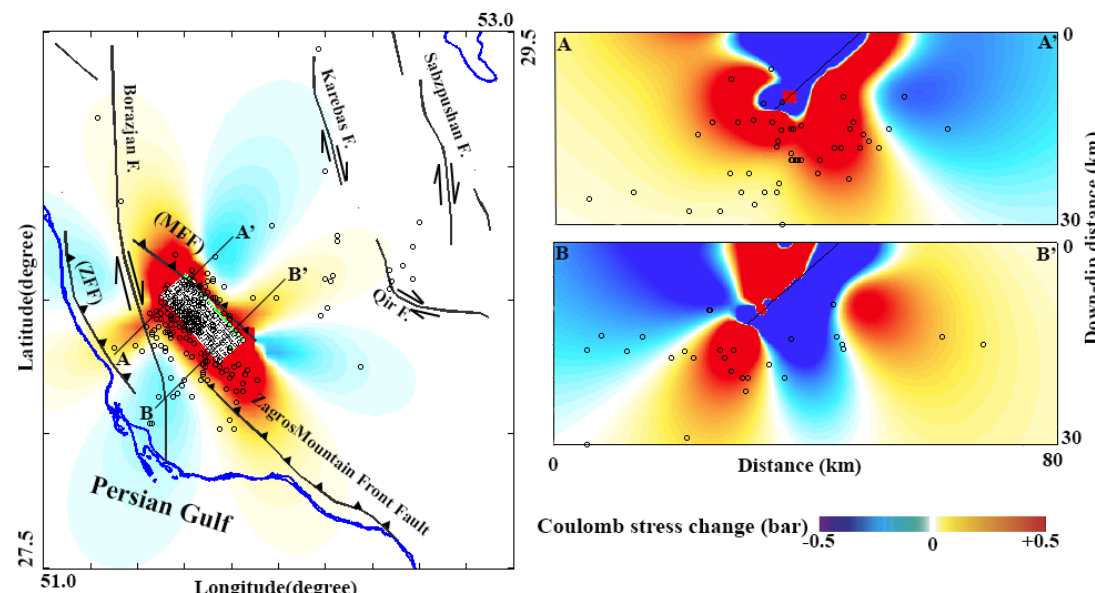
برای بررسی همبستگی بین تغییرات تنش کولمب و توزیع مکانی پس‌لرزه‌ها، تغییرات تنش کولمب حاصل از این زمین‌لرزه بر روی جهت‌های بهینه در یک نیم فضای الاستیک محاسبه شد. یکی از پارامترهای مهمی که در مدل تنش کولمب برای محاسبات بر روی جهت‌های بهینه استفاده می‌شود، تنش ناحیه‌ای (تکتونیکی) و راستای آن در منطقهٔ مورد بررسی است. این تنش معمولاً به صورت یک عنصر پایدار و ثابت در این مدل وجود دارد و در منطقهٔ عامل اصلی دگریختی است و ساختارهای موجود را تحت تأثیر قرار می‌دهد؛ چون بیشینه لغزش احتمالی در زاویهٔ ویژه‌ای نسبت به راستای تنش ناحیه‌ای روی می‌دهد (کینگ و همکاران، ۱۹۹۴؛ حسن‌زاده، ۱۳۸۱).

می‌توان از محورهای P و T حاصل از مکانیسم کانونی زمین‌لرزه‌های رخداده بر روی گسل‌های اصلی، اطلاعات اتساع آبشکافت (hydrofracturing) یا شکستگی گمانه (borehole breakout) و وارونه‌سازی

رومکز اصلی زمین‌لرزه قرار دارند، بقیه پس‌لرزه‌ها در اطراف گسلش رخدادهای ۹ آوریل تجمع دارند. این تجمع پس‌لرزه‌ای حاکی از رخداد آن‌ها در سدهای لرزه‌ای (Barrier) این دو صفحه گسلش است که بعد از لغزش‌های حاصل از زمین‌لرزه مذکور در مناطق مستعد لرزه‌زایی (Asperity) به مقدار زیادی تنش دریافت کرده و بارگذاری شده‌اند (شکل ۲ و ۴).



شکل ۵. تغییرات تنش کولمب بر روی گسل‌های معکوس که به صورت بهینه جهت یافته‌اند و توزیع مکانی پس‌لرزه‌ها. شکل سمت چپ تغییرات تنش کولمب را در عمقی بین عمق صفر تا ۲۰ کیلومتر نشان می‌دهد که تنش انتقالی مقدار بیشینه دارد. شکل‌های سمت راست پروفیل‌های زده شده بر روی گسل مورد مطالعه را به همراه توزیع عمقی پس‌لرزه‌ها نشان می‌دهد. پس‌لرزه‌های استفاده شده، بر اساس پس‌لرزه‌های دوباره مکان‌یابی شده انصاری‌پور و رضابپور (۱۳۹۴) است.



شکل ۶. تغییرات تنش کولمب بر روی گسل‌های امتدادلغز که به صورت بهینه جهت یافته‌اند و توزیع مکانی پس‌لرزه‌ها. شکل سمت چپ تغییرات تنش کولمب را در عمقی بین عمق صفر تا ۲۰ کیلومتر نشان می‌دهد که تنش انتقالی مقدار بیشینه دارد. همچنین شکل‌های سمت راست پروفیل‌های زده شده بر روی گسل مورد مطالعه را به همراه توزیع عمقی پس‌لرزه‌ها نشان می‌دهد. پس‌لرزه‌های استفاده شده، بر اساس پس‌لرزه‌های دوباره مکان‌یابی شده انصاری‌پور و رضابپور (۱۳۹۴) است.

داده‌اند. هر چند خطای مکان‌یابی این پس‌لرزه‌ها خصوصاً در عمق کاملاً ایده‌آل نیست ولی با توجه به اینکه در حال حاضر بهترین مکان‌یابی در دسترس است، ما نیز در این مطالعه از این داده‌ها استفاده کردیم. در شکل ۲ رومکز پس‌لرزه‌های دوباره مکان‌یابی شده با دایره‌های قمزرنگ نشان داده است. همان‌طور که ملاحظه می‌شود به جز چند رخداد که در فواصل دور از

این رخداد متأثر می‌شوند؛ بنابراین ما تغییرات تنفس انتقالی را تنها بر روی گسل‌های نزدیک بررسی کردیم. با توجه به گسل‌های فعال منطقه (شکل ۱) ملاحظه می‌گردد دو نوع سیستم گسلی در اطراف زمین‌لرزه مذکور وجود دارد؛ گسل‌های با مکانیسم معکوس شامل گسل پیشانی کوهستان (MFF) و گسل پیش‌زرفای زاگرس (ZFF) که دارای روند شمال‌غرب-جنوب‌شرق و شیب به سمت شمال‌شرق هستند و گسل امتدادلغز راست-گرد برازجان با مؤلفه معکوس که تقریباً شمالی جنوبی است.

تغییرات تنفس کولمب حاصل از زمین‌لرزه ۹ آوریل ۲۰۱۳ بر اساس لغزش صورت گرفته بر روی هر دو قطعه گسلی شمال‌غربی و جنوبی بر روی گسل‌های امتدادلغز راست-گرد در شکل ۷-الف نشان داده شده است. ملاحظه می‌گردد که قسمت شمالی گسل امتدادلغز برازجان متتحمل تغییرات تنفس منفی شده است. با توجه به مکانیسم امتدادلغز با مؤلفه معکوس گسل برازجان و نیز جابه‌جایی‌های رخداده بر اثر این رخدادها، انتقال این تنفس مثبت به قسمت شمالی گسل برازجان منطقی بوده و بر اساس جایگاه زمین‌ساختی منطقه و جابه‌جایی‌های رخداده قابل تفسیر است. در تاریخ ۲۸ نوامبر ۲۰۱۳ پس از بیش از هفت ماه زمین‌لرزه‌ای با بزرگای گشتواری ۵/۶ در انتهای شمالی گسل برازجان در منطقه افزایش تغییرات تنفس کولمب چکانش کرد (علامت ستاره در شکل ۷) (جدول ۱). هرچند تغییرات تنفس اعمالی در کانون زمین‌لرزه مذکور خیلی ناچیز بوده است (نزدیک ۱/۰۰ بار) ولی با توجه به این که تقریباً نیمه شمالی گسل برازجان متتحمل بارگذاری بر اثر رخداد ماه آوریل بوده است، می‌توان نتیجه گرفت که احتمالاً تنفس‌های اعمالی بر اثر این رخداد موجب تقدم زمانی در رخداد این زمین‌لرزه شده است.

شکل (۷-ب) تغییرات تنفس کولمب انتقالی از زمین‌لرزه ۹ آوریل ۲۰۱۳ را بر روی گسل‌های با مکانیسم معکوس در اطراف این رخداد در عمق ۵ کیلومتری نشان می‌دهد. همان‌گونه که ملاحظه می‌شود، جابه‌جایی‌های

همان‌طور که گفته شد در محدوده مورد مطالعه، هم گسل‌های امتدادلغز راست-گرد وجود دارند و هم گسل‌های معکوس. ابتدا ما تغییرات تنفس کولمب حاصل از زمین‌لرزه ۹ آوریل ۲۰۱۳ را بر روی گسل‌های جهت یافته بهینه با مکانیسم معکوس محاسبه کردیم (شکل ۵). در شکل ۵ تغییرات تنفس کولمب بر روی این نوع گسل‌ها در ۲۰ کیلومتر بالای در عمقی که این تنفس اعمالی بیشینه است، به همراه توزیع مکانی پس‌لرزه‌ها نشان داده شده است. هم تنفس اعمالی نشان داده شده در سطح و هم تنفس نشان داده شده در دو مقطع عرضی (AA' و BB') که تا عمق ۳۰ کیلومتری گسترش دارند، حاکی از آن است که بیش از ۸۰ درصد پس‌لرزه‌ها در مکان‌هایی رخ داده‌اند که تنفس انتقالی ناشی از وقوع زمین‌لرزه اصلی مقداری مثبت دارد و در واقع افزایش یافته است. در مرحله بعدی ما تغییرات تنفس کولمب حاصل از زمین‌لرزه ۹ آوریل ۲۰۱۳ را بر روی گسل‌های جهت یافته بهینه با مکانیسم امتدادلغز محاسبه کردیم. نتایج این محاسبات به همراه توزیع مکانی پس‌لرزه‌ها و مقاطع عرضی در شکل ۶ نشان داده شده است. در این شکل تغییرات تنفس کولمب در ۲۰ کیلومتر بالای در عمقی که تغییرات تنفس بیشینه است، نشان داده شده است. نتایج این محاسبات نیز حاکی از قرار گرفتن بیش از ۸۰ درصد پس‌لرزه‌ها در مکان‌هایی با افزایش تنفس (تغییرات تنفس مثبت) است.

۵-۳. تغییرات تنفس اعمالی بر روی گسل‌های فعال منطقه

پیش‌تر گفته شد که وقوع یک زمین‌لرزه بر روی یک گسل، گسل‌های اطراف را تحت تأثیر قرار داده و باعث بارگذاری یا باربرداری تنفس در آن‌ها شده و بدین طریق باعث تقدم یا تأخیر زمانی در وقوع زمین‌لرزه‌های آتی بر روی این گسل‌ها می‌شود. با توجه به اینکه بزرگای این زمین‌لرزه چندان زیاد نبوده است ($Mw=6/3$)، توانایی تأثیرگذاری بر روی گسل‌های با فواصل دور را ندارد و تنها گسل‌های در فواصل کم از

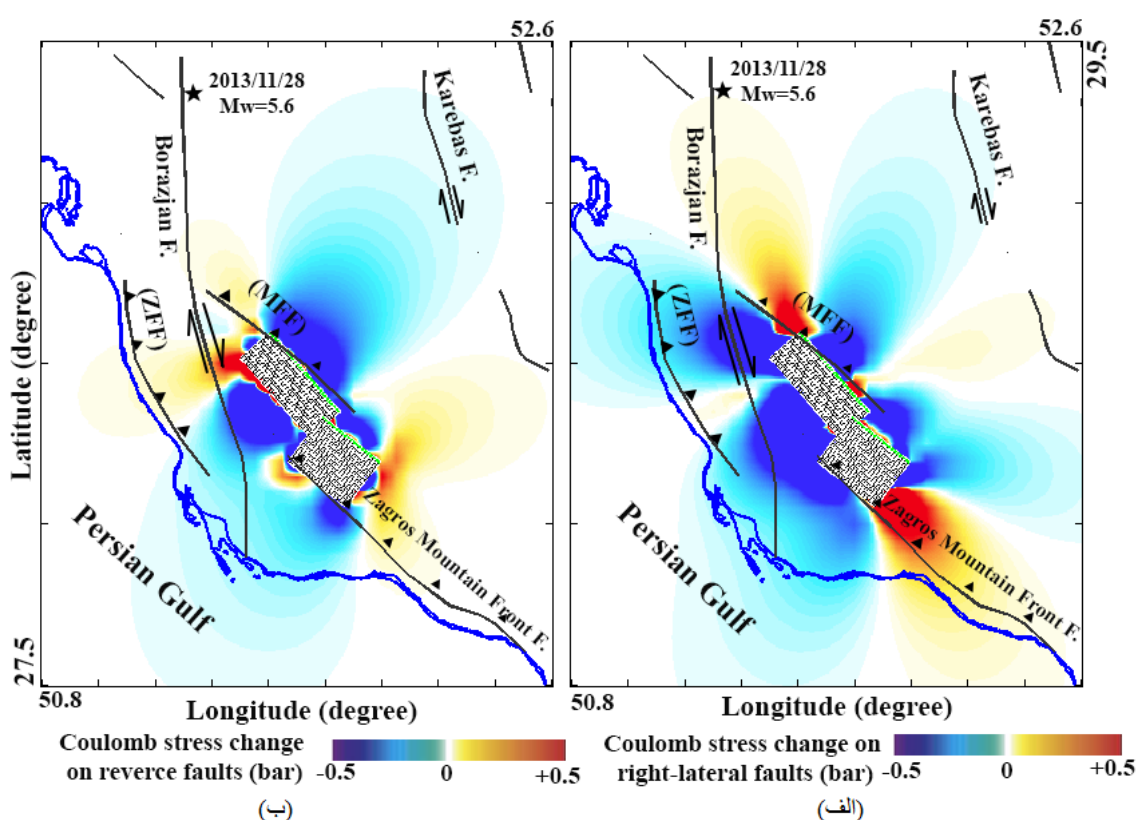
با توجه به کاتالوگ انتخابی ما برابر با ۴ شد. برای به نقشه در آوردن تغییرات نرخ لرزه‌خیزی در منطقه مورد مطالعه از شبکه $0/1$ در $0/1$ درجه و پنجره‌ای با شعاع ۳۰ کیلومتر استفاده شده است. با توجه به اینکه تعداد ۴۰ رخداد برای هر واحد نمونه انتخاب مناسبی است که انحراف معیار قابل قبولی دارد، توجه به تمرکز زمین‌لرزه‌ها در اطراف گسل‌ها در منطقه مورد مطالعه و نیز هدف ما که تمرکز بر روی این گسل‌ها به عنوان چشممه‌های لرزه‌ای بود، تست‌های نرم‌افزاری نشان داد که انتخاب پنجره ۳۰ کیلومتری در اطراف گسل‌ها می‌تواند تعداد ۴۰ رخداد را در بر گیرد؛ بنابراین پنجره شعاعی ۳۰ کیلومتر با تعداد رخداد ۴۰ زمین‌لرزه برای این محاسبات انتخاب شد.

با محاسبه میانگین لرزه‌خیزی پس از رخداد کاکی-شبه و تقسیم آن به میانگین لرزه‌خیزی قبل از این رخداد تغییرات نرخ لرزه‌خیزی برای منطقه مورد مطالعه به دست آمد (شکل ۸). مناطق دارای رنگ‌های گرم، تغییرات نرخ لرزه‌خیزی مثبت دارند و مناطق یک‌دست آبی رنگ تغییرات نرخ لرزه‌خیزی را منفی نشان می‌دهند. که به سبب نبود داده لرزه‌ای در این محدوده‌است. نتایج برای تغییرات نرخ لرزه‌خیزی، مناطقی را که دارای تغییرات مثبت هستند بر روی گسل‌های منطقه نشان می‌دهد. از شکل ۸ ملاحظه می‌شود که همبستگی خوبی بین تغییرات تنش کولمب و تغییر نرخ لرزه‌خیزی وجود دارد. همچنین بر اساس مطالعات پیشین (تoda و همکاران، ۱۹۹۸؛ ملکی و حمزه‌لو، ۱۳۹۳) مناطقی که هم دارای تغییرات تنش کولمب مثبت و هم تغییرات نرخ لرزه‌خیزی مثبت هستند، مستعد وقوع زمین‌لرزه‌های آتی هستند. در این تحقیق همچنین ملاحظه می‌شود بزرگ‌ترین رخداد بعد از زمین‌لرزه کاکی-شبه که زمین‌لرزه ۲۸ نوامبر ۲۰۱۳ برآذجان است، در مکانی رخ داده است که هم تغییرات تنش کولمب و هم تغییر نرخ لرزه‌خیزی مقادیر مثبت نشان می‌دهند (شکل ۷ و ۸).

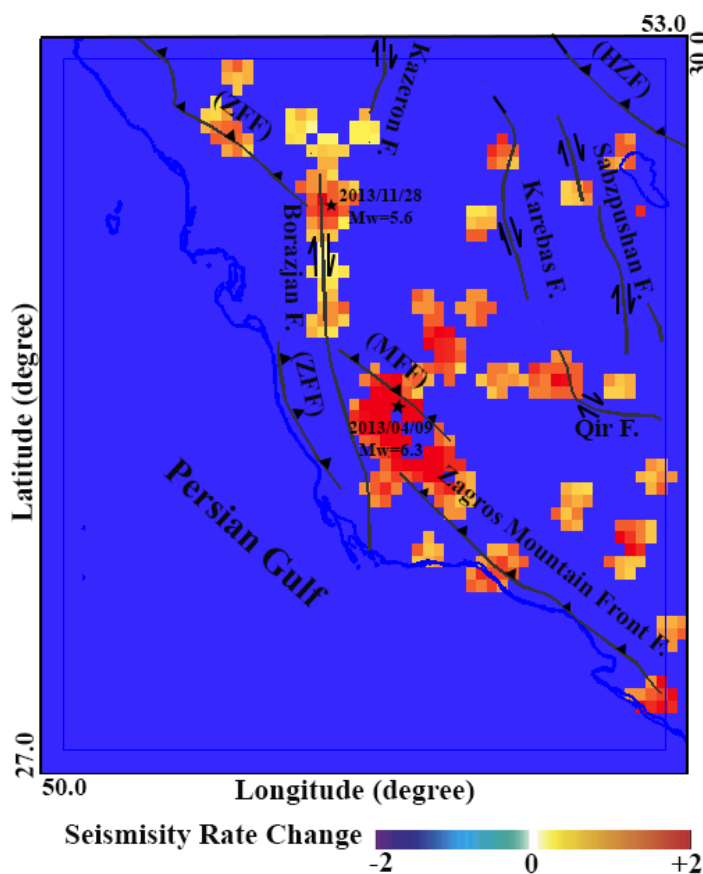
رخداده بر روی صفحات این رخداد باعث انتقال تنش بر روی قسمت‌هایی از گسل‌های پیش‌ژرفای زاگرس (ZFF) و انتهای شمال غربی گسل جبهه پیشانی کوهستان (MFF) شده است. با توجه به نوع لغزش بر روی این صفحات، تنش‌های اعمالی به گونه‌ای بوده است که گسل‌های مذکور را تحت تأثیر قرار داده است. همچنین ملاحظه می‌گردد که بخش جنوب شرقی گسل MFF، تغییرات تنش منفی را تجربه کرده است.

۶. تغییرات نرخ لرزه‌خیزی

همان طور که قبلاً گفته شد تغییرات نرخ لرزه‌خیزی عبارت است از میانگین نرخ لرزه‌خیزی پس از یک زمین‌لرزه به میانگین نرخ لرزه‌خیزی پیش از آن (تода و همکاران، ۱۹۹۸). مطالعات حاکی از همبستگی خوب بین تغییرات تنش کولمب و تغییرات نرخ لرزه‌خیزی است (تoda و همکاران، ۱۹۹۸؛ ملکی و حمزه‌لو، ۱۳۹۳). به منظور محاسبات تغییرات نرخ لرزه‌خیزی برای منطقه مورد مطالعه از کاتالوگ مؤسسه ژئوفیزیک دانشگاه تهران استفاده شد. برای محاسبات، بیش از ۱۱۰۰ زمین‌لرزه با بزرگ‌گای بیش از چهار از سال ۱۹۱۳ تا اکتبر ۲۰۱۶ با مرجع قراردادن زمین‌لرزه ۹ آوریل ۲۰۱۳ به کار رفت. تمامی رخدادها از لحظه بزرگ‌گای به صورت بزرگ‌گای گشتاوری یکسان‌سازی شده و به فرمت مناسب جهت محاسبه تغییرات نرخ لرزه‌خیزی در آمدند. قبل از هر گونه تحلیل علمی، سنجش کیفیت، ثبات و یکنواختی داده‌های کاتالوگ از اهمیت ویژه‌ای برخوردار است. تعیین حد آستانه بزرگ‌گای یا به عبارت دیگر بزرگ‌گای کامل شده (Mc) یک راه ویژه در کنترل کاتالوگ لرزه‌ای است. برای دستیابی به مجموعه داده همگن با توجه به تغییرات بزرگ‌گای کامل شده (Mc) نسبت به زمان، کاتالوگ قطع شده و مقدار (Mc) برای هر بازه زمانی دوباره محاسبه و بر داده‌های آن بازه اعمال گردیده است. مقدار بزرگ‌گای کامل شده برای هر دو بازه



شکل ۷. تغییرات تنش کولمب انقلابی بر روی گسل‌های فعال منطقه؛ الف: تغییرات تنش حاصل از زمین‌لرزه ۹ آوریل سال ۲۰۱۳ بر روی گسل‌های امتداد‌لغز راست-گرد منطقه، رو مرکز زمین‌لرزه ۲۸ نوامبر ۲۰۱۳ با ستاره مشکی‌رنگ نشان داده شده است. ب: تغییرات تنش حاصل از زمین‌لرزه ۹ آوریل سال ۲۰۱۳ بر روی گسل‌های معکوس منطقه.



شکل ۸ تغییرات نرخ لرزه‌خیزی در منطقه مطالعه، رو مرکز زمین‌لرزه ۹ آوریل و ۲۸ نوامبر ۲۰۱۳ با ستاره‌های مشکی‌رنگ نشان داده شده است.

تغییرات نرخ لرزه‌خیزی مشاهده گردید. همچنین رخداد ۲۸ نوامبر برازجان در جایی چکانش کرده است که هم تغییرات تنش کولمب و هم تغییرات نرخ لرزه‌خیزی مقادیر مثبت دارند.

تشکر و قدردانی

از حمایت‌های مادی و معنوی معاونت پژوهشی دانشگاه دامغان در انجام این تحقیق، مؤسسه ژئوفیزیک دانشگاه تهران به دلیل در اختیار قرار دادن کاتالوگ زمین‌لرزه‌های منطقه مورد مطالعه، آقایان مهندس انصاری‌پور و دکتر رضابور به خاطر در اختیار قرار دادن پس‌لرزه‌های دوباره مکان‌یابی شده و همچنین از داوران محترم مجله که با پیشنهادات و نقطه نظرات ارزشمند خود باعث ارتقاء این مقاله شدند، تشکر و قدردانی می‌شود.

مراجع

آقاباتی، ع.، ۱۳۸۳، زمین‌شناسی ایران، چاپ اول، (۶۹۷ ص)، انتشارات سازمان زمین‌شناسی و اکتشافات معدنی کشور، تهران.

انصاری‌پور، م. و رضابور، م.، ۱۳۹۴، تعیین مدل سرعتی برای ناحیه بوشهر و تحلیل زمینلرزه $Mw = 6/3$ ، ۲۰۱۳ کاکی بوشهر، فیزیک زمین و فضا، دوره ۴۱، شماره ۳، پاییز ۱۳۹۴، صفحه ۳۵۱-۳۶۱.

بلورچی، م.، یوسفی، ط.، کارگر، ش.، علیخانزاده، ر.، فرهنگ، آ. و صداقت، م.، ۱۳۹۲، گزارش فوری- مقدماتی زمین‌لرزه شنبه استان بوشهر، سازمان زمین‌شناسی و اکتشافات معدنی کشور، تهران.

حسن‌زاده، ح.، ۱۳۸۱، بررسی لرزه زمین‌ساخت و تغییرات میدان تنش در منطقه قائنات (مدل تنش کولمب). سازمان زمین‌شناسی و اکتشافات معدنی- پژوهشکده علوم زمین، تهران.

عبدی، ر.، زارع، م.، سلگی، ع. و سیناییان، ف.، ۱۳۸۹، مطالعه خطر زمین‌لرزه در محدوده جزیره خارک، فصلنامه زمین، سال پنجم، ۱، ۲۲-۲۸.

ملکی آسایش، ب. و حمزه‌لو، ح.، ۱۳۹۳، بررسی تغییر نرخ لرزه خیزی و تنش در شمال غرب ایران، شانزدهمین کنفرانس ژئوفیزیک ایران، ۲۳ تا ۲۵ اردیبهشت ماه ۱۳۹۳، صفحه ۹۰-۹۴.

۷. نتیجه‌گیری

تغییرات تنش کولمب حاصل از لغرش بر روی قطعه شمال‌غربی پیرو زمین‌لرزه ۹ آوریل ۲۰۱۳ بر روی صفحه گسلی قطعه جنوبی محاسبه شد. با در نظر گرفتن صفحه این قطعه گسلی به عنوان گسل گیرنده با مکانیسم معکوس ملاحظه شد که تغییرات تنش انتقالی بر روی این صفحه گسلی در بیشتر قسمت‌های آن، خصوصاً جاهایی که دچار لغزش شده‌اند، مقدار مثبت دارد و می‌توان نتیجه گرفت که بر اثر همین تنش اعمالی احتمالاً این رخداد بی‌لرزه به وقوع پوسته است. همچنین همبستگی بین توزیع مکانی پس‌لرزه‌ها و تغییرات تنش کولمب بررسی گردید و ملاحظه شد که همبستگی خوبی بین توزیع مکانی پس‌لرزه‌ها و تغییرات تنش کولمب وجود دارد. بیش از ۸۰ درصد پس‌لرزه‌های بررسی شده در مکان‌هایی قرار گرفته بودند که تغییرات تنش کولمب در آنجا افزایش یافته بود. همچنین ملاحظه گردید که به جز چند رخداد که در فواصل دور از رومکز اصلی زمین‌لرزه قرار دارند، بقیه پس‌لرزه‌ها در اطراف گسل‌ش رخداد ۹ آوریل تجمع دارند. این تجمع پس‌لرزه‌ای حاکی از رخداد آن‌ها در بریرهای صفحه گسل‌ش است که بعد از لغزش‌های حاصل از زمین‌لرزه مذکور در مناطق مستعد لرزه‌زایی، به مقدار زیادی تنش دریافت کرده و بارگذاری شده‌اند. تغییرات تنش کولمب حاصل از رخداد نهم آوریل ۲۰۱۳ بر اثر لغزش بر روی هر دو قطعه شمال‌غربی و جنوبی بر روی گسل‌های فعل منطقه نشان داد که قسمت‌هایی از گسل پیشانی کوهستان (MFF)، گسل پیش ژرفای زاگرس (ZFF) و نیمه شمالی گسل برازجان دارای تغییرات تنش مثبت هستند. رومکز زمین‌لرزه ۲۸ نوامبر ۲۰۱۳ برازجان نیز که بزرگ‌ترین رخداد پس از زمین‌لرزه کاکی-شنبه در منطقه مورد مطالعه است، در ناحیه افزایش تنش کولمب قرار گرفته است. با مرتع قرار دادن زمین‌لرزه ۹ آوریل کاکی-شنبه تغییرات نرخ لرزه‌خیزی با استفاده از بیش از ۱۱۰ رخداد، از سال ۱۹۱۳ تا اکتبر ۲۰۱۶ محاسبه شد. همبستگی خیلی خوب بین تغییرات تنش کولمب و

یمینی فرد، ف.، تاتار، م.، تقابنی، م.، ۱۳۹۵
 تحلیل پس لرزه‌های زمین لرزه ۹۲/۱/۲۰
 کاکی بوشهر با بزرگای $Mw=6/3$ ، پژوهشگان
 بین‌المللی زلزله‌شناسی و مهندسی زلزله،
 تهران.

- Allen, M. B. and Armstrong, H. A., 2008, Arabia Eurasia collision and the forcing of mid-Cenozoic global cooling, *Palaeogeogr. Palaeoclimatol. Palaeoecol.*, 265, 52–58.
- Bachmanov, D. M., Trifonov, V. G., Hessami, Kh. T., Kozhurin, A. I., Ivanova, T. P., Rogozhin, E. A., Hademi, M. C. and Jamali, F. H., 2004, Active faults in the Zagros and central Iran, *Tectonophysics*, 380, 221–241.
- Baker, C., Jackson, J. and Priestley, K., 1993, Earthquakes on the Kazerun Line in the Zagros Mountains of Iran: Strike-slip faulting within a fold-and-thrust belt, *Geophys. J. Int.*, 115, 41–61, doi:10.1111/j.1365-246X.1993.tb05587.x.
- Barnhart, W. D. and Lohman, R. B., 2013, Phantom earthquakes and triggered aseismic creep: Vertical partitioning of strain during earthquake sequences in Iran, *Geophys. Res. Lett.*, 40, 819–823, doi:10.1002/grl.50201.
- Bayrak, Y., Yadav, R. B. S., Kalafat, D., Tsapanos, T. M., Cinar, H., Singh, A. P., Bayrak, E., Yimaz, S., öcal, F. and Koravos, G., 2013, Seismogenesis and earthquake triggering during the Van (Turkey) 2011 seismic sequence, *Tectonophysics*, vol. 601, pp. 163–176.
- Berberian, M., Petrie, C. A., Potts, D. T., Asghari Chaverdi, A., Dusting, A., Sardari Zarchi, A., Weeks, L., Ghassemi, P. and Noruzi, R., 2014, Archaeoseismicity of the mounds and monuments along the kazerun fault (western zagros, sw iranian plateau) since the chalcolithic period, *iranica antiqua*, XLIX, doi: 10.2143/IA.49.0.3009238.
- Berberian, M., 1995, Master blind thrust faults hidden under the Zagros folds: active basement tectonics and surface morphotectonics, *Tectonophysics*, 241, 193–224.
- Elliott, J. R., Bergman, E. A., Copley, A. C., Ghods, A. R., Nissen, E. K., Oveisi, B., Tatar, M., Walters, R. J. and Yamini-Fard, F., 2015, The 2013 $Mw 6.2$ Khaki-Shonbe (Iran) Earthquake: Insights into seismic and aseismic shortening of the Zagros sedimentary cover, *Earth and Space Science*, 2(11), 435–471.
- Fakhari, M. D., Axen, G. J., Horton, B. K., Hassanzadeh, J. and Amimi, A., 2008, Revised age of proximal deposits in the Zagros foreland basin and implications for Cenozoic evolution of the High Zagros, *Tectonophysics*, 451, 170–185.

ملکی آسایش، ب. و حمزه‌لو، ح.، ۱۳۹۴، تغییرات تنفس کولمب حاصل از زمین لرزه‌های ریگان و توزیع پس لرزه‌ها، *فصلنامه علمی پژوهشی علوم و مهندسی زلزله*، سال دوم، شماره دوم، تابستان ۱۳۹۴، صفحه ۱۰-۱.

- Harris, R. A., 1998, Introduction to special section: Stress triggers, stress shadows, and implications for seismic hazard, *J. Geophys. Res.*, 103, 24,347–24,358.
- Hessami, K., Jamali, F. and Tabasi, H., 2003, Major Active Faults map of Iran, Scale 1:2500000, International Institute of Earthquake Engineering and Seismology (IIEES), 1 sheet.
- Hessami, K., Koyi, H. A., Talbot, C. J., Tabasi, H. and Shabanian, E., 2001b, Progressive unconformities within an evolving foreland fold thrust belt, Zagros Mountains, *J. Geol. Soc. London*, 158, 969–981.
- IRSC, "Iranian Seismological Center", <http://irsc.ut.ac.ir>
- Jackson, J. A., 1980, Reactivation of basement faults and crustal shortening in orogenic belts", *Nature*, 283, 343–346, doi:10.1038/283343a0.
- Jackson, J. and Fitch, T., 1981, Basement faulting and the focal depths of the larger earthquakes in the Zagros mountains (Iran), *Geophys. J. Int.*, 64, 561–586, doi:10.1111/j.1365-246X.1981.tb02685.x.
- Jakson, J. and McKenzie, D. P., 1984, Active tectonic of the Alpine-Himalayan Belt between western Turkay and Pakistan. *Geophys. J. Int.*, 64, 561–586.
- King, G. C. P., Stein, R. S. and Lin, J., 1994, Static stress changes and the triggering earthquakes, *Bull. Seismol. Soc. Am. Vol.* 84, No. 3, pp. 935–953.
- Lin, J. and Stein, R. S., 2004, Stress triggering in thrust and subduction earthquakes and stress interaction between the southern San Andreas and nearby thrust and strike slip faults, *J. Geophys. Res.*, Vol. 109, B02303, doi: 10.1029/2003JB002607.
- Maggi, A., Jackson, J. A., Priestley, K. and Baker, C., 2000a, A re-assessment of focal depth distributions in southern Iran, the Tien Shan and northern India: do earthquakes really occur in the continental mantle?. *Geophysical Journal International*, 143(3), 629–661.
- McQuarrie, N. and Hinsbergen, D. J. J., 2013, Retrograde forming the Arabia-Eurasia collision zone: Age of collision versus magnitude of continental subduction, *Geology*, 41(3), 315–318.
- Mouthereau, F., Lacombe, O. and Vergés, J., 2012, Building the Zagros collisional orogen: Timing, strain distribution and the

- dynamics of Arabia/Eurasia plate convergence, *Tectonophysics*, 532, 27–60.
- Ni, J. and Barazangi, M., 1986, Seismotectonics of the Zagros continental collision zone and a comparison with the Himalayas. *Journal of Geophysical Research*, 91(B8), pp 8205–8218.
- Nissen, E., Ghorashi, M., Jackson, J., Parsons, B. and Talebian, M., 2007b, The 2005 Qeshm Island earthquake (Iran)—A link between buried reverse faulting and surface folding in the Zagros Simply Folded Belt?, *Geophys. J. Int.*, 171, 326–338, doi:10.1111/j.1365-246X.2007.03514.x.
- Nissen, E., Tatar, M., Jackson, J. A. and Allen, M. B., 2011, New views on earthquake faulting in the Zagros fold-and-thrust belt of Iran, *Geophys. J. Int.*, 186, 928–944, doi:10.1111/j.1365-246X.2011.05119.x.
- Nissen, E., Yamini-Fard, F., Tatar, M., Gholamzadeh, A., Bergman, E., Elliott, J. R., Jackson, J. A. and Parsons, B., 2010, The vertical separation of mainshock rupture and microseismicity at Qeshm island in the Zagros fold-and-thrust belt, Iran, *Earth Planet. Sci. Lett.*, 296, 181–194, doi:10.1016/j.epsl.2010.04.049.
- Okada, Y., 1992, Internal deformation due to shear and tensile faults in a half space. *Bulletin of the Seismological Society of America*, 82, 1018–1040.
- Oveisi, B., Lavé, J. and van der Beek, P., 2007, Rates and processes of active folding evidenced by Pleistocene terraces at the central Zagros front (Iran), in *Thrust Belts and Foreland Basins, "Frontiers in Earth Sciences" Series*, edited by O. Lacombe et al., Springer-Verlag, New York, 265–285.
- Papadimitriou, E., 2002, Mode of strong earthquake recurrence in the central Ionian Islands (Greece): Possible triggering due to Coulomb stress changes generated by the occurrence of previous strong shocks, *Bull. Seismol. Soc. Am.*, Vol. 92, No.8, PP-3293–3308.
- Parsons, T., Stein, R. S., Simpson, R. W. and Reasenberg, P. A., 1999, Stress sensitivity of fault seismicity: A comparison between limited-offset oblique and major strike-slip faults, *J. Geophys. Res.*, 104, 20,183–20,202.
- Rajput, Sh., Gahalaut, V. K. and Sahu, V. K., 2005, Coulomb stress changes and aftershocks of recent Indian earthquakes, *Current Science*, 8 (4).
- Roustaei, M., Nissen, E., Abbassi, M., Gholamzadeh, A., Ghorashi, M., Tatar, M., Yamini-Fard, F., Bergman, E., Jackson, J. and Parsons, B., 2010, The 2006 March 25 Fin earthquakes (Iran)-insights into the vertical extents of faulting in the Zagros Simply Folded Belt, *Geophys. J. Int.*, 181, 1275–1291, doi:10.1111/j.1365-246X.2010.04601.x.
- Sherkati, S., Molinaro, M., Frizon de Lamotte, D. and Letouzey, J., 2005, Detachment folding in the Central and Eastern Zagros fold belt (Iran), *Journal of structural Geology*, 27, 1680–1696.
- Stein, R. S., King, C. P. and Lin, J., 1992, Change in failure stress on the southern San Andreas Fault system caused by the 1992 magnitude =7.4 Landers earthquake, *Science*, 258, pp. 1328–1332.
- Talebian, M. and Jackson, J., 2004, A reappraisal of earthquake focal mechanisms and active shortening in the Zagros mountains of Iran, *Geophys. J. Int.*, 156, 506–526, doi:10.1111/j.1365-246X.2004.02092.x.
- Toda, S. and Stein, R. S., 2003, Toggling of seismicity by the 1997 Kagoshima earthquake couplet: A demonstration of time-dependent stress transfer. *Journal of Geophysical Research*, 108(B12), 2567, doi:10.1029/2003JB002527.
- Toda, S., Stein, R. S., Reasenberg, P. A., Dieterich, H. and Yoshida, A., 1998, Stress transferred by the 1995 MW=6.9 Kobe, Japan, shock: Effect on aftershocks and future earthquake.
- Vernant, Ph., Nilforoushan, F., Hatzfeld, D., Abbassi, M. R., Vigny, C., Masson, F., Nankali, H., Martinod, J., Ashtiani, A., Bayer, R., Tavakoli, F. and Chéry, J., 2004, Present-day crustal deformation and plate kinematics in the Middle East constrained by GPS measurements in Iran and northern Oman. *Geophysical Journal International*, 157(1), 381–398.
- Walker, R. T., Andalibi, M. J., Gheitanchi, M. R., Jackson, J. A., Karegar, S. and Priestley, K., 2005, Seismological and field observations from the 1990 November 6 Furg (Hormozgan) earthquake: a rare case of surface rupture in the Zagros mountains of Iran, *Priestley Geophysical Journal International*, 163, 567–579.
- Zarifi, Z., Nilforoushan, F. and Raeesi, M., 2013, Crustal stress map of Iran: insight from seismic and geodetics computations. *Pure and Applied Geophysics*, 171(7), 1219–1236.

Study of the seismicity rate and Coulomb stress changes associated with the April 9th, 2013 Kaki-Shonbe earthquake (Mw=6.3) and the spatial distribution of aftershocks

Nouri, B.¹, Hashemi, S. N.^{2*} and Maleki Asayesh, B.³

1. M.Sc. Student, School of Earth Sciences, Damghan University, Iran

2. Assistant Professor, School of Earth Sciences, Damghan University, Iran

3. Ph.D. Student, International Institute of Earthquake Engineering and Seismology, Tehran, Iran

(Received: 28 Jan 2017, Accepted: 23 May 2017)

Summary

Nowadays, the effect of an earthquake in triggering of other events in the surrounding areas is completely accepted. This effect in triggering future events and spatial distribution of aftershocks can be explained using the Coulomb stress changes theory. Occurrence of April 9th, 2013 earthquake with moment magnitude of 6.3 in Bushehr province that followed by an aftershock with 5.4 magnitude after 14 hours in its vicinity, convinced us to examine Coulomb stress change theory for this region of Iran related to this event using the Coulomb 3.4 software. We calculated Coulomb stress changes associated with the Kaki-Shonbe earthquake on surrounding faults and investigated the effect of transferred stress on spatial distribution of aftershocks. We also calculated the seismicity rate changes in the study area and investigated its correlation with Coulomb stress changes. For calculation of Coulomb stress changes, we used a half-space with Poisson ratio equal 0.25 and shear modulus about of 800 kbar. The effective coefficient of friction in our calculations was 0.4 that is appropriate for these kinds of faults. We also used a number of about 1,100 earthquakes with magnitude more than 4, from 1913 to October 2016, to calculate the seismicity rate changes.

The Kaki-Shonbe Mw 6.3 earthquake occurred on 9 April 2013 (11:53 UTC, 16:23 local time) in the Zagros Simply Folded Belt in south-western Iran and its largest aftershock was triggered after 14 hours. The epicenter location was 20 km northeast of the town of Kaki, and the earthquake resulted 40 fatalities and 860 injured. Reverse slip on two along-strike, southwest dipping fault segments were found by analyzing satellite interferometry data. The main shock rupture initiated at the lower northern end of the larger northwest segment and slip on the smaller southern segment is likely aseismic. At first, to investigate the effect of the Kaki-Shonbeh earthquake on occurred aseismic slip on the southeast fault plane, we calculated the Coulomb stress changes related to this event on this fault plane by applying slips on the parts of causative fault of main shock. Our results showed that the transferred stress on most part of this fault plane is positive especially in the places that experienced aseismic slip. The aseismic displacement on this fault can be due to the displacement on the causative fault of Kaki-Shonbe earthquake and it is acceptable because of the tectonics of the study area and prevailing stress system. Investigation of the effect of Coulomb stress changes on the distribution of aftershocks showed that more than 80 percent of aftershocks have occurred in places where stress changes were positive. In other word, lots of the aftershocks have occurred in places where the transferred stresses due to co-seismic slip on the northwest fault segment and aseismic slip on the southeast fault segment were increased.

We calculated the Coulomb stress changes due to April 9th earthquake and aseismic slip on the southeast segment on the active faults in the study area. The obtained results indicate that the occurred slips on these fault segments increased the stress in some part of the Zagros Mountain Front Fault (MFF), Zagros Fore-deep Fault (ZFF), and the northern part of the Borazjan Fault. Coulomb stress changes due to these slips show a good correlation with calculated seismicity rate changes in the study area. The Borazjan earthquake epicenter, occurred on November 28th, 2013 with moment magnitude of 5.6, is located in the region that both Coulomb stress changes and seismicity rate changes increased and had positive amounts.

Keywords: Kaki-Shonbe earthquake, Coulomb stress changes, Seismicity rate changes, Receiver fault, Seismotectonics.

*Corresponding author:

hashemi@du.ac.ir